

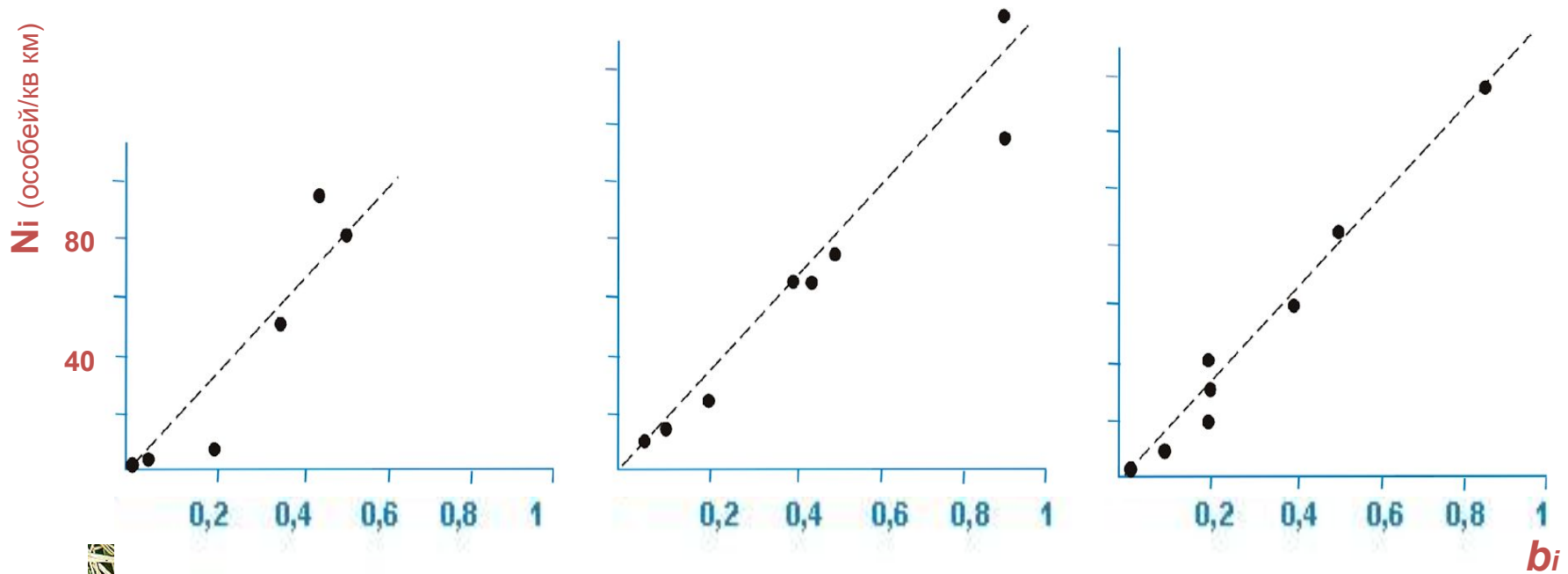
Пространственное распределение наземных ПОЗВОНОЧНЫХ

В.А. Юдкин

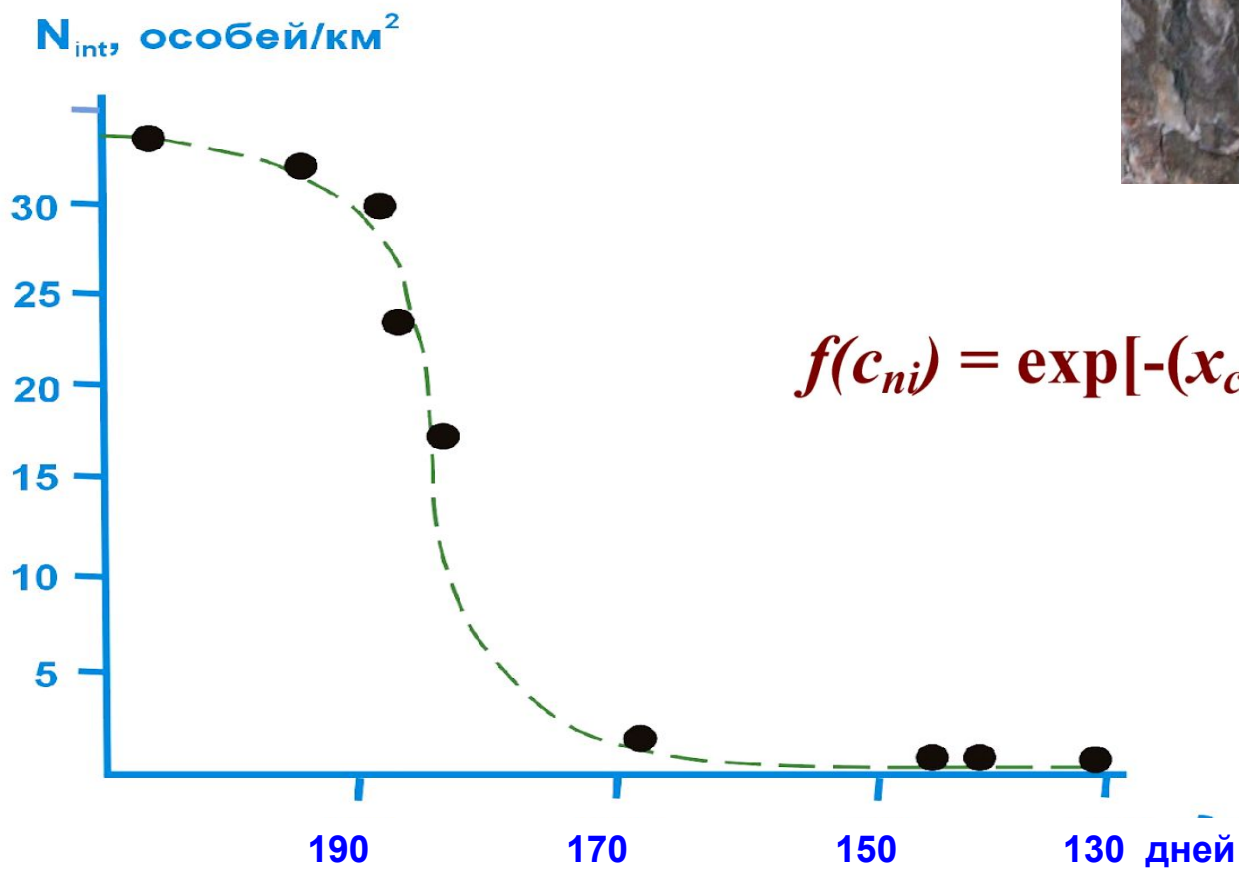
Лаборатория

зоологического мониторинга

ЗАВИСИМОСТЬ ПЛОТНОСТИ ВИДА (N_i) ОТ ДОЛИ ПЛОЩАДИ С ПРЕДПОЧИТАЕМОЙ ТОПОАРХИТЕКТУРОЙ (b_i)

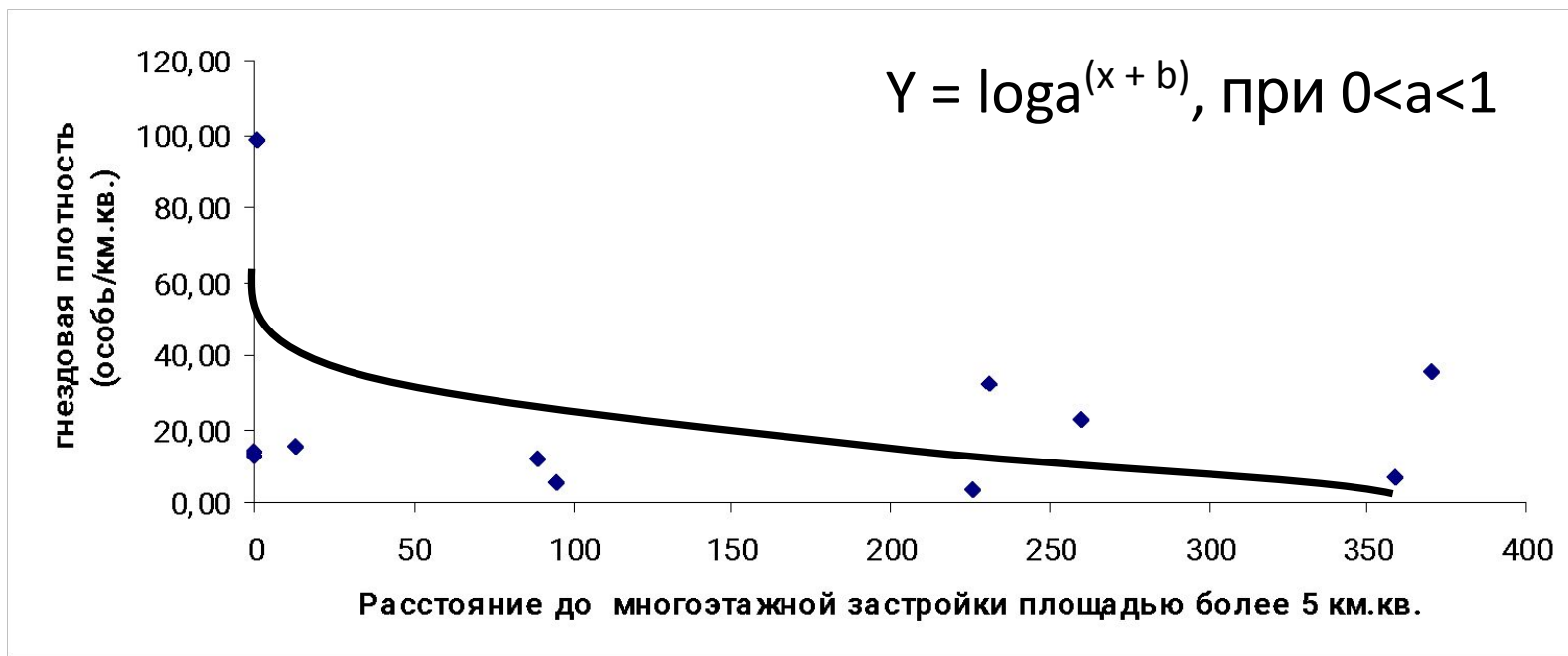


ЗАВИСИМОСТЬ ИММАНЕНТНОЙ ПЛОТНОСТИ ВИДА (N_{int}) ОТ ШИРОТНО-КЛИМАТИЧЕСКОГО ФАКТОРА



$$f(c_{ni}) = \exp[-(x_{ci} \cdot c_{ni})^{rci}]$$

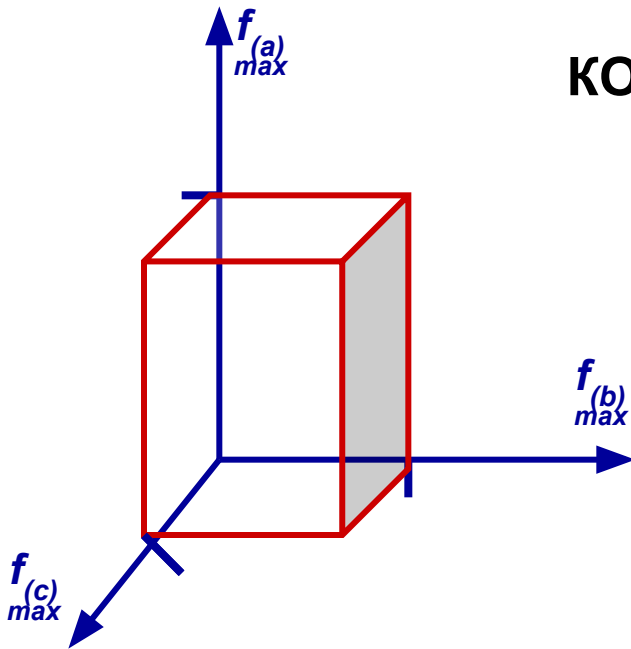
Зависимость гнездовой плотности обыкновенной сороки от удаленности от мест благоприятной зимовки



Прослеживается нелинейная зависимость гнездовой плотности от мест благоприятной зимовки.

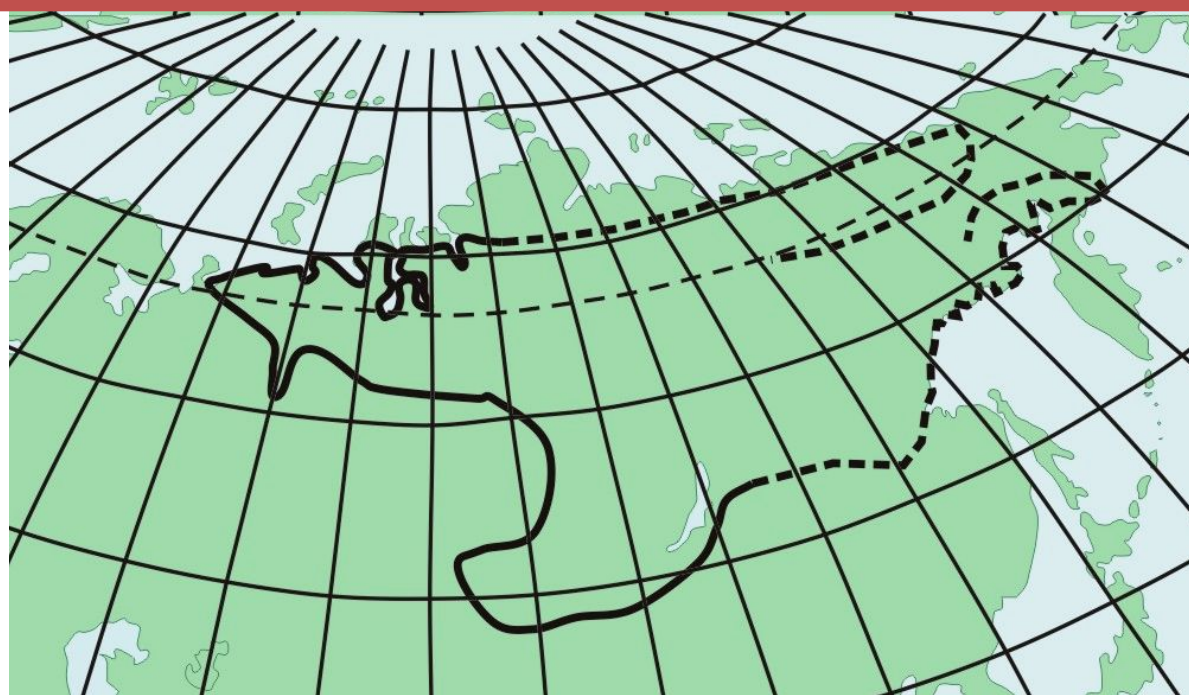
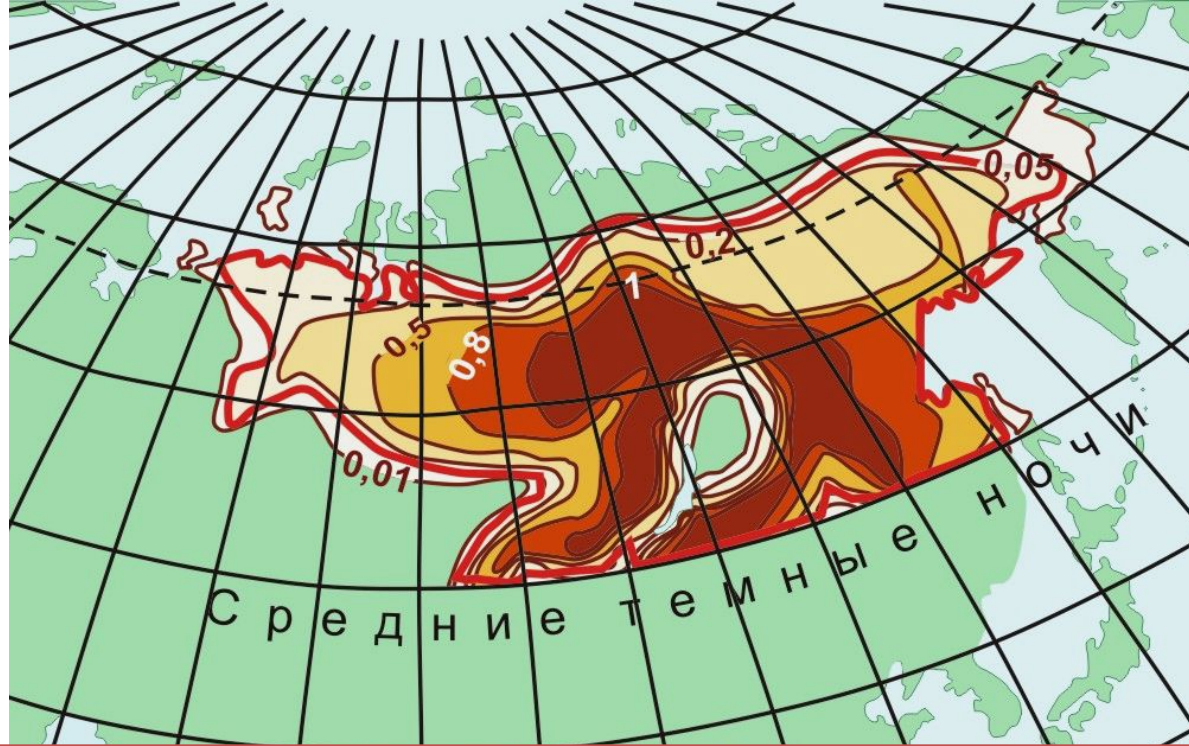


КОНЦЕПТУАЛЬНАЯ МОДЕЛЬ ЗАВИСИМОСТИ ПЛОТНОСТИ ОТ ГЕОГРАФИЧЕСКИХ ФАКТОРОВ



- $w = \exp[-(x_{ci} \cdot c_{ni} + x_{di} \cdot d_{ni}) / (c_{ni} + d_{ni})]^{rsi}$
- ИЛИ
- $w = \exp\{-(x_{ci} \cdot c_{ni})^{rci} + (x_{di} \cdot d_{ni})^{rdi}\}$

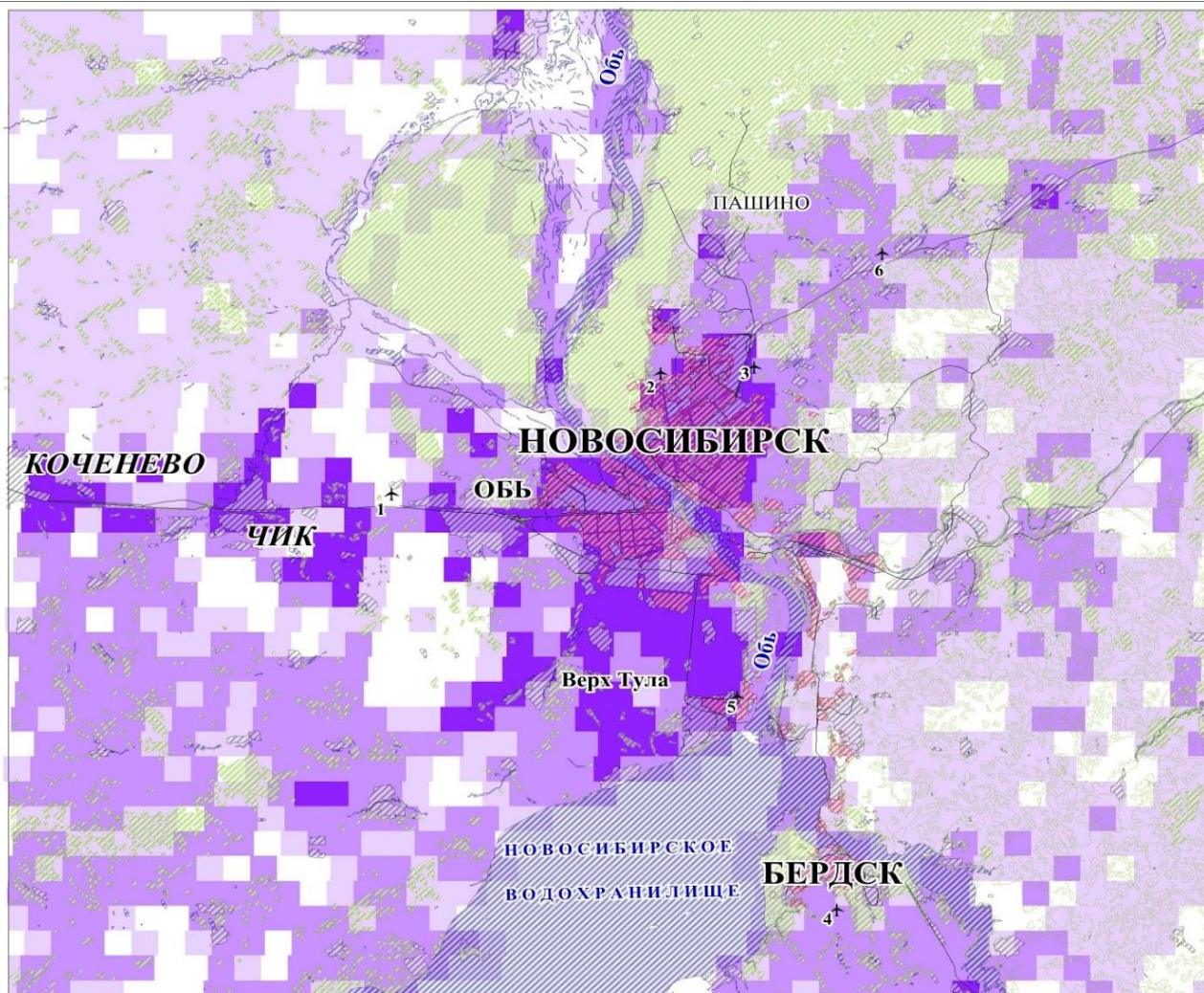
Ареал *Gallinago stenura*
аппроксимируется
модельной изолинией
плотности 0,05



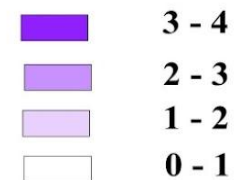
Повреждения
самолетов
в результате
столкновения
с птицами



«Сеточная» (grid) карта распределения *Milvus migrans*, выполненная на основе деления территории на равновеликие трапеции (Новосибирский административный район, 2014 г)



Плотность коршуна
особей / кв. км



Карта
распределения
Capreolus pygargus
в Новосибирской
области
(февраль 2010,
на основе результатов
ЗМУ)

